



27-17. IT-AG. 9100. Fm. Santed (5).



27-17. IT-AG. 9101. Fm. Cuarcita Armoricana (6).



27-17. IT-AG. 9102-9103. Muschelkalk en las proximidades de Herrera de Los Navarros.



27-17. IT.AG. 9104. F. Muschelkalk (11, 12, 13) (Tres unidades).



27-17. IT.AG. 9105. Fm. Carniolas de Cortes de Tajuña (15). En el barranco y valle, la F. Keuper (14).



27-17. IT-AG. 9106. Contacto entre Fm. Alternancia de margas y calizas de Turmiel (18) y Fm. Carbonatada de Chelva (19).



27-17. IT-AG. 9107. Fm. Carbonatada de Chelva (19). Partes medias.



27-17. IT-AG. 9108. Fm. Ritmita calcárea de Loriguilla (21). Fuerte Plegamiento en el flanco norte.



27-17. IT-AG. 9109. Fm. Ritmita calcárea de Loriguilla (22).



27-17. IT-AG. 9110. Contacto entre Fm. Ritmita calcárea de Loriguilla (22) y Fm. Caliza con oncolitos de Higueruelas (23).



27-17. IT-AG. 9111-9112. Contacto anterior.



27-17. IT-AG. 9113-9114. Extremo oeste del anticlinal de Jurásico. Se observan Fm. Alternancia de margas y calizas de Turmiel (18), Fm. carbonatada la de Chelva (19) Fm. Margas de Sot de Chera (20), Fm. Ritmita calcárea de Loriguilla (21), Fm. caliza con Oncolitos de Higueruelas (22), Fm. Arenas y calizas del Cretácico (23).



17-17. IT-AG. 9115. Fms. Ritmita calcárea de Loriguilla (21) y Caliza con Oncolitos de Higueruela (22) en el Pantano de Tosos.



27-17. IT-AG. 9116-17. Cretácico inferior junto a la presa de las Torcas.



27-17. IT-AG. 9118. Visión de conjunto del Cretácico inferior en Villanueva de Huerva.



27-17. IT-AG. 9119. Detalle de los terrígenos del Cretácico inferior. (23).



27-17. IT-AG. 9120. Detalle del Cretácico inferior.



27-17. IT-AG. 9121. Detalle del Cretácico inferior.



27-17. IT-AG. 9122. Conglomerados, arcillas y calizas con "*Vidaliella*" (24).



27-17. IT-AG. 9123. Niveles calcáreos a techo de la unidad U.T.S. - T2  
(25).



27-17. IT-AG. 9124. Discordancia entre los Terciarios en el sur del Pantano de las Torcas. (26). Paleoceno (28) Mioceno.



27-17. IT-AG. 9125. La discordancia anterior en Tosos.



27-17. IT-AG. 9126-27.

Discordancia entre unidades del Paleogeno (26) y Mioceno (28) en  
Tosos.



27-17. IT-AG. 9128-29-30. Visión panorámica del Pántano de las Torcas margen este.



27-17. IT-AG. 9131-32. Panorámica de las Torcas.



27-17. IT-AG. 9133. Nivel conglomerático del Paleogeno (27) entre calizas.



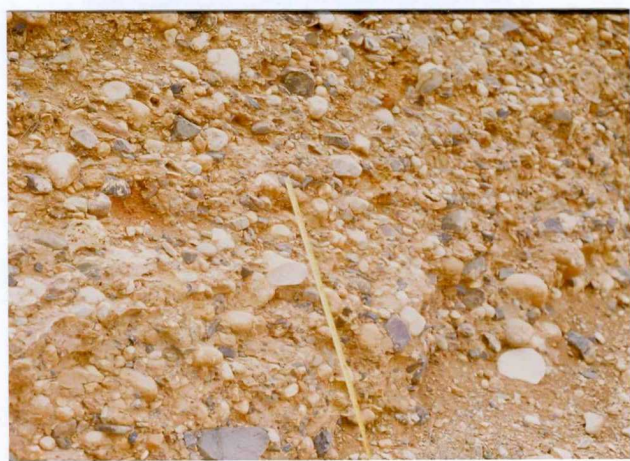
27-17. IT-AG. 9134. Detalle del nivel anterior.



27-17. IT-AG. 9135. Niveles calcáreos del Paleogeno (27).



27-17. IT-AG. 9136. Niveles calcáreos del Paleogeno (27).



27-17. IT-AG. 9137-38. Conglomerados mixtos del Mioceno (28).



27-17. IT-AG. 9139-40.

Conglomerados del Mioceno (28) con niveles de caliche.



27-17. IT-AG. 9141. Mioceno en facies distal (30).



27-17. IT-AG. 9142. Mioceno en facies distal (30).



27-17. IT-AG. 9143. Calizas, areniscas con Gasterópodos.



27-17. IT-AG. 9144. Nivel de Gasterópodos.



27-17. IT-AG. 9145. Terciario de Gasterópodos.

REFERENCIA DEL MAGNA	ANALISIS GEOQUIMICO	FICHA PETROGRAFICA	ROCA VISU
27-18 IT-LS 9000	SI(Igual referencia)	----	----
27-18 IT-LS 9001	SI(Igual referencia)	SI	SI
27-18 IT-LS 9002	SI(Igual referencia)	SI	SI
27-18 IT-LS 9003	SI(Igual referencia)	SI	SI
27-18 IT-LS 9004	SI(Igual referencia)	SI	SI
27-18 IT-LS 9005	SI(Igual referencia)	SI	SI
27-18 IT-LS 9006	SI(Igual referencia)	SI	SI
27-18 IT-LS 9007	SI(Igual referencia)	SI	SI
27-18 IT-LS 9008	SI(Igual referencia)	----	----
27-18 IT-LS 9009	SI(Igual referencia)	----	----
27-18 IT-LS 9010	SI(Igual referencia)	SI	SI
27-18 IT-LS 9011	SI(Igual referencia)	SI	SI
27-18 IT-LS 9012	SI(Igual referencia)	SI	SI
27-18 IT-LS 9013	SI(Igual referencia)	----	----
27-18 IT-LS 9014	SI(Igual referencia)	SI	SI
27-18 IT-LS 9015	SI(Igual referencia)	SI	SI
27-18 IT-LS 9016	SI(Igual referencia)	SI	SI
27-18 IT-LS 9017	SI(Igual referencia)	----	----
27-18 IT-LS 9018	SI(Igual referencia)	SI	SI
27-17 IT-LS 90019	----	SI	SI

Total: 19 ANALISIS QUIMICOS CON ELEMENTOS MAYORES Y TRAZAS EN HOJA 27-18  
 15 FICHAS PETROGRAFICAS CON ROCA (14 en Hoja 27-18 y 1 en HOJA 27-17)